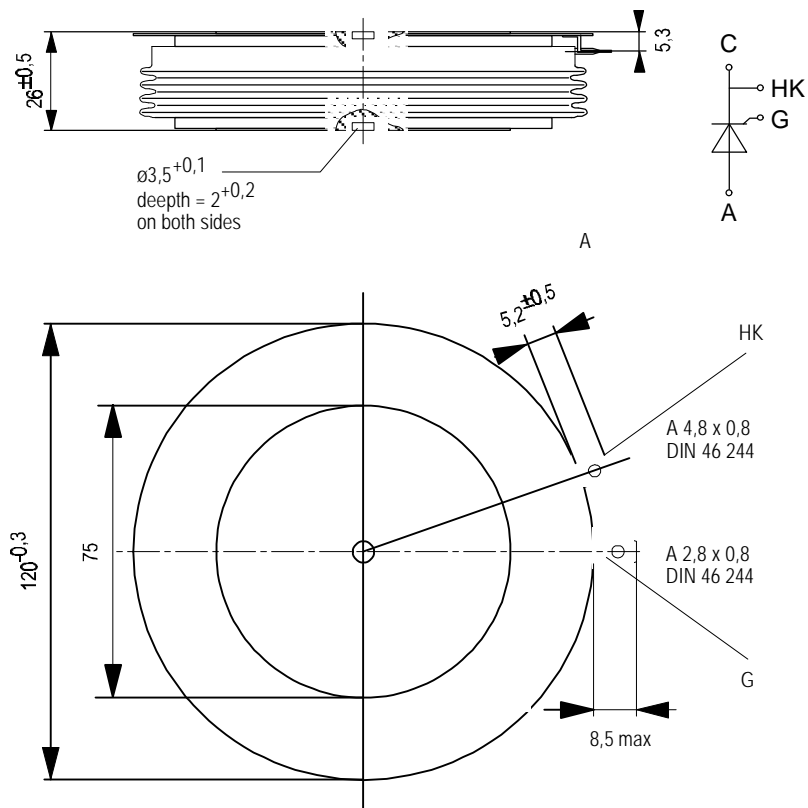




European Power-
Semiconductor and
Electronics Company

Marketing Information T 2710 N



T 2710 N

Elektrische Eigenschaften		Electrical properties				
Höchstzulässige Werte		Maximum rated values				
Periodische Vorwärts- und Rückwärts-Spitzensperrspannung		repetitive peak forward off-state reverse voltages	$t_{vj} = -40^{\circ}\text{C} \dots t_{vj\ max}$	V_{DRM}, V_{RRM}	1600 2200	1800 2000 V
Vorwärts-Stoßspitzensperrspannung		non-repetitive peak forward off-state voltage	$t_{vj} = -40^{\circ}\text{C} \dots t_{vj\ max}$	V_{DSM}	1600 2200	1800 2000 V
Rückwärts-Stoßspitzensperrspannung		non-repetitive peak reverse voltage	$t_{vj} = +25^{\circ}\text{C} \dots t_{vj\ max}$	V_{RSM}	1700 2300	1900 2100 V
Durchlaßstrom-Grenzeffektivwert	RMS on-state current			I_{TRMSM}		5800 A
Dauergrenzstrom	average on-state current		$t_c = 85^{\circ}\text{C}$	I_{TAVM}		2709 A
			$t_c = 61^{\circ}\text{C}$			3700 A
Stoßstrom-Grenzwert	surge current		$t_{vj} = 25^{\circ}\text{C}, t_p = 10 \text{ ms}$	I_{TSM}		54000 A ¹⁾
Grenzlastintegral	$I^2 t$ -value		$t_{vj} = t_{vj\ max}, t_p = 10 \text{ ms}$	$I^2 t$		50000 A ¹⁾
Kritische Stromsteilheit	critical rate of rise of on-state current		$t_{vj} = 25^{\circ}\text{C}, t_p = 10 \text{ ms}$			14,58 $10^{-6} \text{ A}^2\text{s}$
Kritische Spannungssteilheit	critical rate of rise of off-state voltage		$t_{vj} = t_{vj\ max}, t_p = 10 \text{ ms}$			12,5 $10^{-6} \text{ A}^2\text{s}$
			DIN IEC 747-6, $f = 50 \text{ Hz}$	$(di_T/dt)_{cr}$		200 A/ μs
			$I_{GM} = 1 \text{ A}, di_G/dt = 1 \text{ A}/\mu\text{s}$			
			$t_{vj} = t_{vj\ max}, V_D = 0,67 V_{DRM}$	$(dv_D/dt)_{cr}$		
			5.Kennbuchstabe/5th letter F			1000 V/ μs
Charakteristische Werte		Characteristic values				
Durchlaßspannung	on-state voltage		$t_{vj} = t_{vj\ max}, i_T = 11000 \text{ A}$	v_T		max. 2,35 V
Schleusenspannung	threshold voltage		$t_{vj} = t_{vj\ max}$	$V_{T(TO)}$		0,9 V
Ersatzwiderstand	slope resistance		$t_{vj} = t_{vj\ max}$	r_T		0,125 m Ω
Zündstrom	gate trigger current		$t_{vj} = 25^{\circ}\text{C}, V_D = 6 \text{ V}$	i_{GT}		max. 250 mA
Zündspannung	gate trigger voltage		$t_{vj} = 25^{\circ}\text{C}, V_D = 6 \text{ V}$	V_{GT}		max. 2 V
Nicht zündender Steuerstrom	gate non-trigger current		$t_{vj} = t_{vj\ max}, V_D = 6 \text{ V}$	i_{GD}		max. 10 mA
			$t_{vj} = t_{vj\ max}, V_D = 0,5 V_{DRM}$			max. 5 mA
Nicht zündende Steuerspannung	gate non-trigger voltage		$t_{vj} = t_{vj\ max}, V_D = 0,5 V_{DRM}$	V_{GD}		max. 0,25 V
Haltestrom	holding current		$t_{vj} = 25^{\circ}\text{C}, V_D = 6 \text{ V}, R_A = 5 \Omega$	i_H		max. 300 mA
Einraststrom	latching current		$t_{vj} = 25^{\circ}\text{C}, V_D = 6 \text{ V}, R_{GK} > 10 \Omega$	i_L		max. 1500 mA
Vorwärts- und Rückwärts-Sperrstrom	forward off-state and reverse currents		$i_{GM} = 1 \text{ A}, di_G/dt = 1 \text{ A}/\mu\text{s}, t_g = 20 \mu\text{s}$			
			$t_{vj} = t_{vj\ max}$	i_D, i_R		max. 250 mA
Zündverzug	gate controlled delay time		$V_D = V_{DRM}, V_R = V_{RRM}$			
			DIN IEC 747-6, $t_{vj} = 25^{\circ}\text{C}$	t_{gd}		max. 4 μs
Freiwerdezeit	circuit commutated turn-off time		$i_{GM} = 1 \text{ A}, di_G/dt = 1 \text{ A}/\mu\text{s}$			
			$t_{vj} = t_{vj\ max}, i_{TM} = i_{TAVM}$	t_q		
			$V_{RM} = 100 \text{ V}, V_{DM} = 0,67 V_{DRM}$			
			$-di_T/dt = 20 \text{ A}/\mu\text{s}, -di_T/dt = 10 \text{ A}/\mu\text{s}$			
			4.Kennbuchstabe/4th letter O			typ. 300 μs
Thermische Eigenschaften		Thermal properties				
Innerer Wärmewiderstand	thermal resistance, junction to case		Kühlfläche/cooling surface beidseitig/two-sided, $\Theta = 180^{\circ} \text{ sin}$	R_{thJC}		max. 0,0085 °C/W
Übergangs-Wärmewiderstand	thermal resistance, case to heatsink		beidseitig/two-sided, DC			max. 0,0078 °C/W
			Kühlfläche/cooling surface beidseitig/two-sided einseitig /single-sided	R_{thCK}		max. 0,0025 °C/W
						max. 0,0050 °C/W
Höchstzul. Sperrsichttemperatur	max. junction temperature			$t_{vj\ max}$		125 °C
Betriebstemperatur	operating temperature			$t_{c\ op}$		-40...+125 °C
Lagertemperatur	storage temperature			t_{stg}		-40...+150 °C
Mechanische Eigenschaften		Mechanical properties				
Si-Elemente mit Druckkontakt, Amplifying-Gate, verzweigt	Si-pellet with pressure contact, amplifying gate, interdigitated					
Anpreßkraft	clamping force			F		42...95 kN
Gewicht	weight			G		typ. 1200 g
Kriechstrecke	creepage distance					30 mm
Feuchtekategorie	humidity classification		DIN 40040			C
Schwingfestigkeit	vibration resistance		$f = 50 \text{ Hz}$			50 m/s ²
Gehäuse	case					Titelseite / front page

¹⁾ Gehäusegrenzstrom 38 kA (50Hz Sinushalbwelle). / Current limit of case 38 kA (50Hz sinusoidal half-wave).

T 2710 N

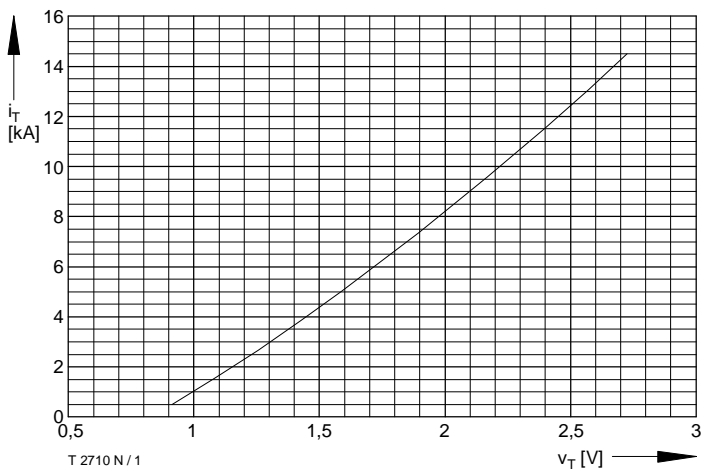


Bild / Fig. 1
Grenzdurchlaßkennlinie / Limiting on-state characteristic $i_T = f(v_T)$
 $t_{vj} = t_{vj \max}$

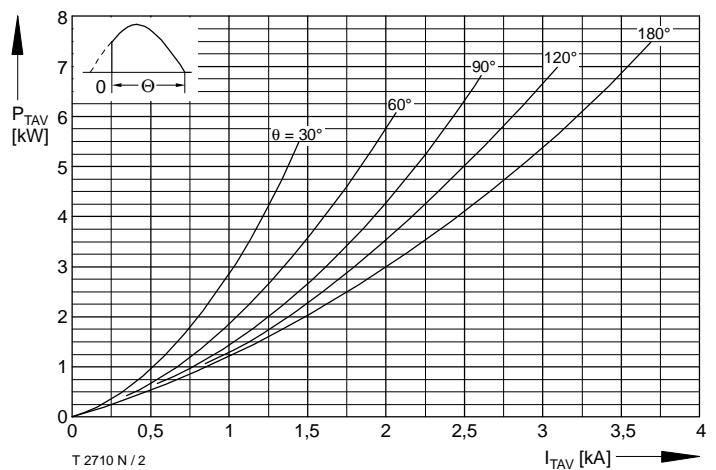


Bild / Fig. 2
Durchlaßverlustleistung / On-state power loss $P_{TAV} = f(I_{TAV})$
Parameter: Stromflußwinkel / Current conduction angle θ

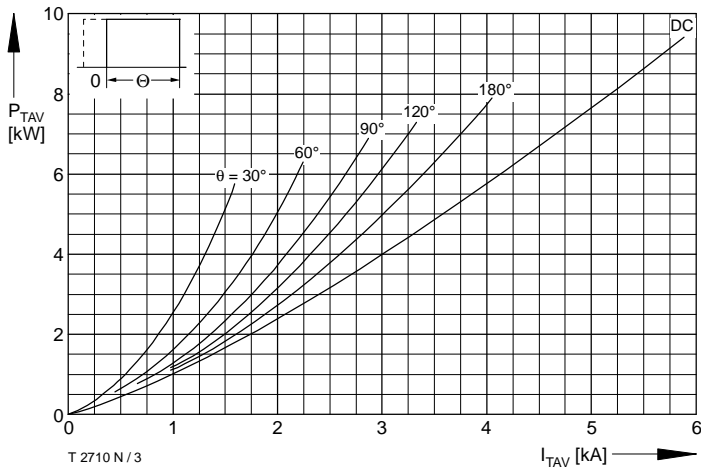


Bild / Fig. 3
Durchlaßverlustleistung / On-state power loss $P_{TAV} = f(I_{TAV})$
Parameter: Stromflußwinkel / Current conduction angle θ

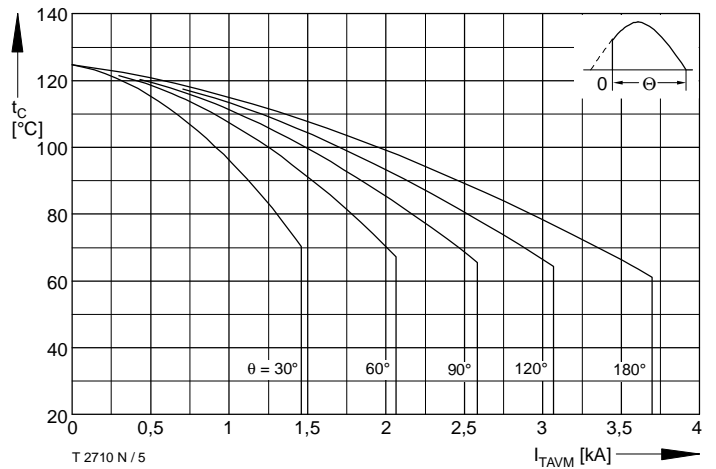


Bild / Fig. 5
Höchstzulässige Gehäusetemperatur / Maximum allowable case temperature $t_c = f(I_{TAVM})$
Beidseitige Kühlung / Two sided cooling
Parameter: Stromflußwinkel / current conduction angle θ

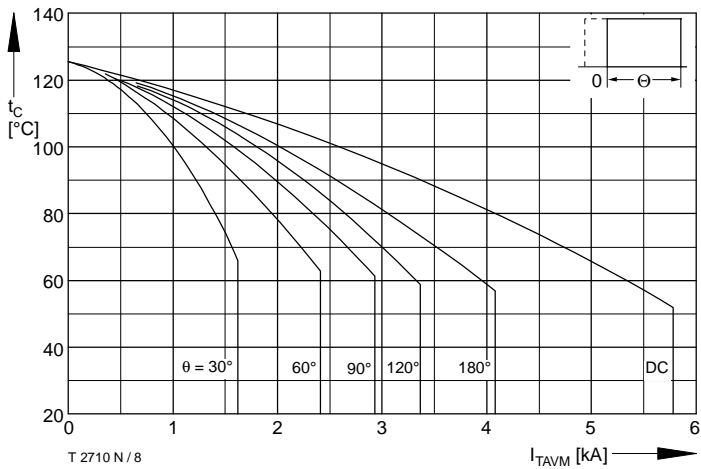


Bild / Fig. 8
Höchstzulässige Gehäusetemperatur / Maximum allowable case temperature $t_c = f(I_{TAVM})$
Beidseitige Kühlung / Two sided cooling
Parameter: Stromflußwinkel / current conduction angle θ

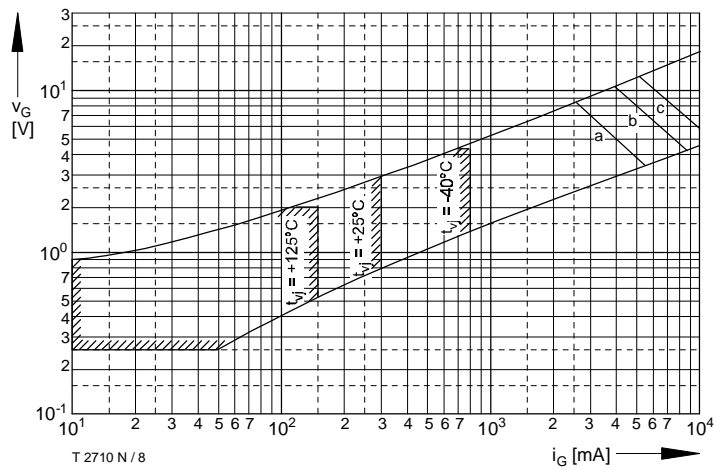


Bild / Fig. 8
Steuercharakteristik mit Zündbereichen / Gate characteristic with triggering areas $V_G = f(i_G)$, $V_D = 6 \text{ V}$
Parameter:
Steuerimpulsdauer / Puls duration t_g [ms] & a & b & c
Höchstzulässige Spitzensteuerleistung / Maximum allowable peak gate power [W] & 20 & 40 & 60

T 2710 N

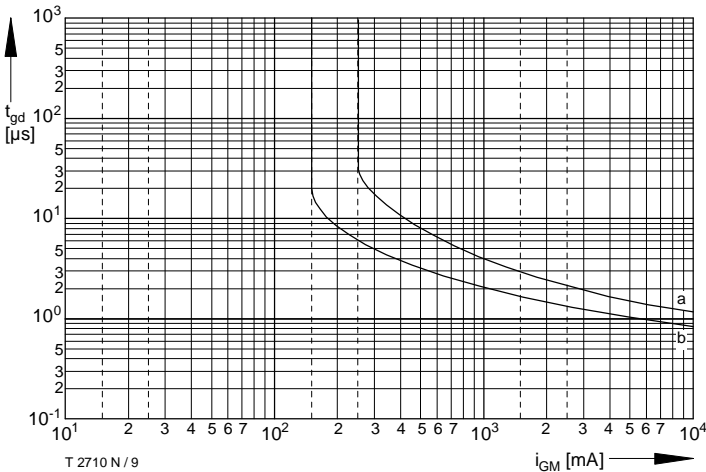


Bild / Fig. 9
Zündverzug / Gate controlled delay time $t_{gd} = f(i_{GM})$, $t_{vj} = 25^\circ\text{C}$,
 $\text{di}_G/\text{dt} = i_{GM}/1\mu\text{s}$
a - Maximaler Verlauf / Limiting characteristic
b - Typischer Verlauf / Typical characteristic

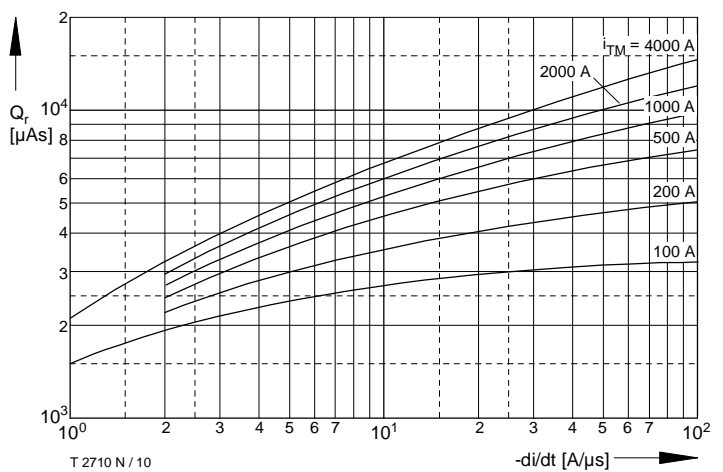


Bild / Fig. 10
Sperrverzögerungsladung / Recovered charge $Q_r = f(\text{di}/\text{dt})$
 $t_{vj} = t_{vj,\text{max}}$, $V_R \leq 0,5 V_{RRM}$, $V_{RM} = 0,8 V_{RRM}$
Parameter: Durchlaßstrom / On-state current i_{TM}

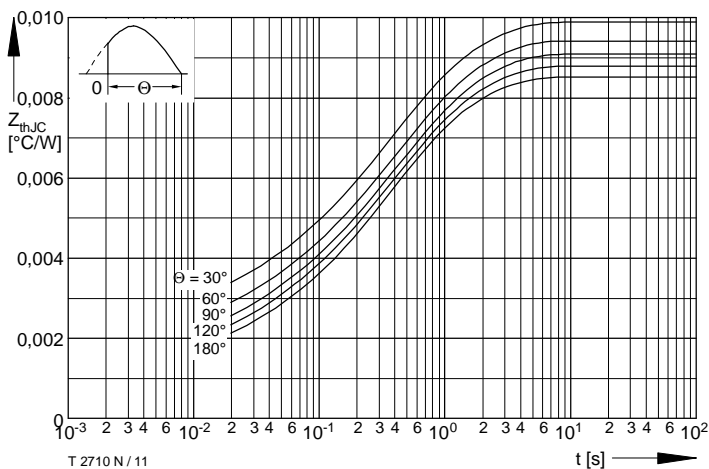


Bild / Fig. 11
Transienter innerer Wärmewiderstand / Transient thermal impedance
 $Z_{thJC} = f(t)$
Beidseitige Kühlung / Two-sided cooling
Parameter: Stromflußwinkel / Current conduction angle θ

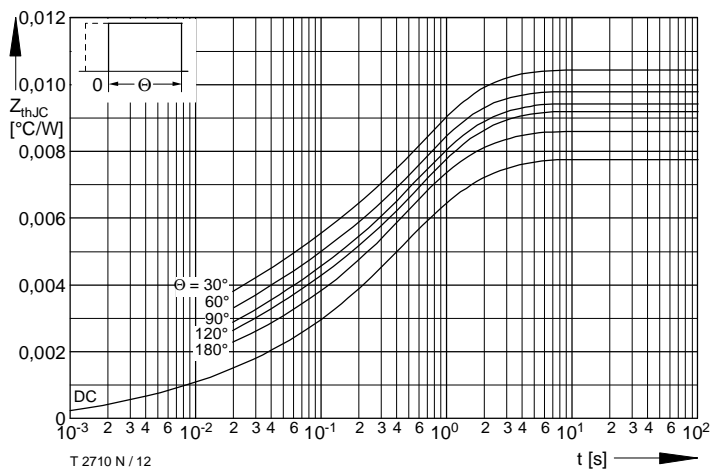


Bild / Fig. 12
Transienter innerer Wärmewiderstand / Transient thermal impedance
 $Z_{thJC} = f(t)$
Beidseitige Kühlung / Two-sided cooling
Parameter: Stromflußwinkel / Current conduction angle θ

Analytische Elemente des transinten Wärmewiderstandes Z_{thJC} pro Zweig für DC
Analytical elements of transient thermal impedance Z_{thJC} per arm for DC

Beidseitige Kühlung / Two-sided cooling

Pos. n	1	2	3	4	5	6
$R_{thn} [\text{°C/W}]$	0,00003	0,00039	0,00123	0,0028	0,00338	
$\tau_n [\text{s}]$	0,000055	0,00392	0,0152	0,2068	1,0914	

Analytische Funktion / Analytical function:

$$Z_{thJC} = \sum_{n=1}^{n_{\max}} R_{thn} \left(1 - e^{-\frac{t}{\tau_n}}\right)$$